

## ارزیابی درون‌تنی نانویوسرامیک‌های زیست فعال در بازسازی و ترمیم استخوان

(مطالعه حیوانی)

\*علی دوست محمدی، \*\*محمد حسین فتحی، \*\*\*امین بیغم صادق، \*\*امیرحسین توکلی‌زاده، \*\*حامد اکبریان

دانشگاه شهرکرد

### خلاصه

پیش‌زمینه: در سال‌های اخیر بیوسرامیک‌های زیست فعال مورد توجه ویژه پژوهشگران قرار گرفته‌اند. شیشه زیست فعال (بیوگلاس) و هیدروکسی آپاتیت از این بیوسرامیک‌ها هستند. هدف از این پژوهش، ساخت و مشخصه‌یابی نانو ذرات بیوگلاس و هیدروکسی آپاتیت برای جایگزینی یا ترمیم استخوان بود.

مواد و روش‌ها: نانویوگلاس و هیدروکسی آپاتیت مطابق روش‌های مستند موجود ساخته شد. تحلیل عنصری بیوسرامیک‌های ساخته شده به کمک پرتو ایکس انجام گردید و شکل و اندازه ذرات به کمک میکروسکوپ الکترونی مورب بررسی قرار گرفت. درنهایت، ذرات بیوسرامیک و ترکیب ساخته شده از آنها در استخوان خرگوش کاشته شد و فعالیت زیستی آنها از طریق هیستولوژی و پرتونگاری بررسی و مقایسه گردید.

یافته‌ها: آزمون‌های مشخصه‌یابی، تولید نانو ذرات بیوگلاس و هیدروکسی آپاتیت مورد نظر تأیید کرد. نتایج آزمون‌های هیستولوژی و پرتونگاری نشان داد که نانو ذرات بیوگلاس، هیدروکسی آپاتیت و کامپوزیت بیوگلاس/هیدروکسی آپاتیت، فعالیت زیستی قابل توجهی داشته و پس از گذشت ۴ تا ۶ هفته باعث ترمیم نواقص استخوانی می‌شوند. همچنین مشاهده شد عملکرد زیستی کامپوزیت بیوگلاس/هیدروکسی آپاتیت نسبت به هر کدام از اجزای آن، به تنهایی بالاتر است.

نتیجه‌گیری: تأثیر خاصیت هدایت استخوانی هیدروکسی آپاتیت و القای استخوانی بیوگلاس در کامپوزیت بیوگلام/هیدروکسی آپاتیت، منجر به زیست فعالی بسیار خوب این ترکیب و پاسخ زیستی مناسب بافت سخت استخوان به این بیوسرامیک ترکیبی می‌گردد.

واژه‌های کلیدی: نانوکامپوزیت، بازسازی استخوان، بیوگلاس، هیدروکسی آپاتیت

دریافت مقاله: ۹ ماه قبل از چاپ؛ مراحل اصلاح و بازنگری: ۲ بار؛ پذیرش مقاله: ۱ ماه قبل از چاپ

## In Vivo Evaluation of Bioactive Nano Bioceramics for Bone Regeneration and Repair (an Animal Study)

\*Ali Doostmohammadi, PhD; \*\*Mohammad Hossein Fathi, \*\*\*Amin Bigham Sadegh,  
\*\*Amir Hossein Tavakolizadeh, \*\*Hamed Akbarian

### Abstract

**Background:** Bioactive bioceramics have been regarded by researchers in recent years. Bioglass and Hydroxyapatite (HA) are the examples of these bioactive bioceramics. Production and characterization of nano bioglass and HA for bone repair applications were the purpose of this study.

**Methods:** Nano bioglass and HA were produced and the particles shape and size were characterized by X-ray fluorescence (XRF). The bioactivity of the particles of HA and nano bioglass and combination of the two were tested, by introducing them into the cavities formed in rabbit's Tibia. The incorporation and bone induction of these 3 different particles in bone were evaluated by radiography and also histopathology of the resected specimens.

**Results:** The characterized tests confirmed that nano bioglass and natural HA were produced with desired composition. The radiographic and histopathologic evaluation illustrated good bioactivity of nano-size bioglass, HA and HA-bioglass composite, leading to restoration of bone defects after 4 to 6 weeks. It was also observed that bioactivity of HA-bioglass composite was superior to bioglass and HA used singularly.

**Conclusions:** The osteoconductivity of HA and osteoinductivity of bioglass combined as a composite lead to excellent bioactivity and good response in the hard bony tissue.

**Key words:** Nanocomposites; Bone regeneration; Bioglass; Hydroxyapatite

Received: 9 months before printing ; Accepted: 1 month before printing

\*Materials Engineer, Materials Department, Engineering Faculty, Shahrood University, Shahrood, IRAN.

\*\*Materials Engineer, Materials Engineering Department, Isfahan University of Technology, Isfahan, IRAN.

\*\*\*Veterinary Surgeon, Faculty of Veterinary Medicine, Shahrood University, Sharekord, IRAN.

**Corresponding author:** Ali Doostmohammadi, PhD

Materials Department, Engineering Faculty, Shahrood University, Shahrood, Iran.

e-mail: alidstm@gmail.com

## مقدمه

پاسخ سلول‌های استخوانی به شیشه‌های زیست فعال وجود دارد<sup>(۵)</sup>. کاربردهای متنوعی از مصارف پودری بیوگلاس و هیدروکسی آپاتیت گزارش شده است که شامل مصارفی نظیر کاشتنی‌های ارتقیدی و دندانی هستند<sup>(۶,۷)</sup>. انواع طبیعی هیدروکسی آپاتیت نیز در سال‌های اخیر مورد توجه پژوهشگران قرار گرفته است<sup>(۸,۹)</sup>.

هنگامی که استحکام مکانیکی در درجه دوم اهمیت قرار داشته باشد، بیوسرامیک‌های زیست فعال می‌توانند برای کاربردهای ویژه ساخته شوند. اولین استفاده موفق شیشه زیستی جایگزینی استخوان کوچک گوش میانی بود که برای درمان ناشنوایی انجام گرفت<sup>(۱)</sup>. در دندانپزشکی نیز استفاده از این مواد زیست فعال روبه گسترش است<sup>(۴,۵,۶)</sup>. مقالات متعددی نیز در زمینه تأثیر مثبت بیوسرامیک‌های زیست فعال بر رشد سلول‌های استخوانی و ترغیب و تحریک رشد استخوان گزارش شده است<sup>(۴,۱۰)</sup>. به نظر می‌رسد کاربرد این مواد در شکسته‌بندی و ارتوپدی نیز می‌تواند بسیار سودمند و مفید باشد.

انتظار می‌رود ابعاد نانومتری ذرات بیوسرامیک عملکرد زیستی مناسب‌تری داشته باشند. مزایا و فواید بسیاری برای نانوذرات بیوگلاس و هیدروکسی آپاتیت می‌توان شمرد که مهم‌ترین آن، افزایش فعالیت زیستی ذرات شیشه است<sup>(۱)</sup>. با توجه به مبانی نظری و مکانیزم زیست فعالی این مواد، واضح است که هرچه اندازه ذرات ریزتر باشد، سطح تماس بیشتری در معرض محیط خارج (شامل سلول‌ها و سیالات بین بافتی) قرار می‌گیرد و فعالیت زیستی افزایش می‌یابد. به عبارت دیگر، اگر دو ترکیب یکسان بیوسرامیک با مقدار وزنی مشابه در میان بافت سخت یا در معرض سلول‌های استخوانی قرار گیرند، فعالیت زیستی (رهایش یون‌های مؤثر بر استخوان‌سازی) در نمونه‌ای بیشتر است که اندازه ذرات ریزتری دارد<sup>(۱۱)</sup>. از سوی دیگر در جایی که این مواد به عنوان حامل و وسیله انتقال ژن یا دارو به درون سلول‌ها مدنظر باشد، نانومتری بودن ابعاد ذرات آن بسیار تعیین‌کننده خواهد بود<sup>(۱,۴)</sup>. ریزی هرچه بیشتر ذرات شیشه در ساخت ترکیبات پلیمری نیز این امکان را به سازنده خواهد داد که حجم بیشتری از بیوگلاس را به عنوان فاز پرکننده زیست

فلزات و آلیاژها در دندانپزشکی، ارتوپدی و ترمیم استخوان شکسته کاربرد گسترده‌ای به عنوان کاشتنی<sup>۱</sup> مصنوعی یا مواد ترمیمی دارند. آلیاژهای تیتانیوم، آلیاژهای پایه کربالت و فولاد زنگ نزن ۳۱۶ ال، از معمول‌ترین آلیاژهایی هستند که در ساخت کاشتنی‌های استخوانی به کار می‌روند<sup>(۱,۲)</sup>. ویژگی اصلی این آلیاژها، دارا بودن خواص مکانیکی مناسب است ولی همیشه نگرانی در مورد مقاومت خوردگی این آلیاژها در محلول‌های فیزیولوژیکی و زیست فعالی آنها وجود داشته است. کم بودن زیست فعالی این آلیاژها به معنای عدم توانایی آنها در اتصال به بافت زنده بدون اعمال نیروهای خارجی است. برخلاف این آلیاژها، سرامیک و شیشه‌های شناخته شده‌ای وجود دارند که زیست سازگارند و خواص زیست فعالی فوق العاده‌ای دارند<sup>(۳)</sup>. در سال‌های اخیر این سرامیک‌های زیست فعال به موقیت‌های شایان ذکری در ترمیم‌های استخوانی دست یافته‌اند<sup>(۴)</sup>.

شیشه‌های زیست فعال (بیوگلاس)<sup>(۲)</sup> با ایجاد یک پیوند شیمیایی قوی پاسخ زیستی مناسبی در فصل مشترک استخوان و بافت نشان می‌دهند و از این رو کاربردهای وسیعی در پزشکی دارند<sup>(۳,۵)</sup>. به هر حال به دلیل خواص مکانیکی نه چندان مطلوب این شیشه‌ها، کاربرد آنها در مصارف تحت بار با مشکلاتی روبروست، در حالی که آلیاژهای فلزی هنوز هم بهترین گزینه برای کاربرد در مکان‌هایی هستند که متحمل بار مکانیکی می‌شوند. هدف اصلی بکارگیری این شیشه‌ها بهبود و بازسازی استخوان در اطراف کاشتنی است<sup>(۶)</sup>. در میان همه مواد زیست فعال، بهترین رفتار زیست فعالی متعلق به بیوسرامیک‌های هیدروکسی آپاتیت<sup>۳</sup> و شیشه‌های زیست فعال است که در برگیرنده گروهی از ترکیبات کلسیم - فسفات می‌باشند که در زمان کوتاهی با بافت پیوند برقرار می‌کنند<sup>(۱,۶)</sup>. ترکیبات مشخص از شیشه‌های زیست فعال شامل  $\text{CaO}$ ,  $\text{SiO}_2$ ,  $\text{P}_2\text{O}_5$  قادر به اتصال به بافت‌های نرم و سخت بدون مداخله لایه‌های فیبری هستند. تحقیقات اخیر نشان می‌دهد که یک کترول ژنتیکی بر

1. Implant

2. Bioactive glass (Bioglass)

3. Hydroxyapatite (HA)

آلومینیومی نصب شدند. پوشش‌دهی نمونه‌ها نیز به کمک لایهٔ نازکی از طلا و پالادیوم انجام شد.

۴- آزمون‌های درون تنی<sup>۱</sup>: تعداد ۱۵ خرگوش نر بالغ تقریباً هم وزن و به ظاهر سالم انتخاب شدند و پس از ارزیابی‌های جسمی و معاینات خونی و اطمینان از سلامتی آنها، از استخوان درشت‌تنی پای چپ خرگوش‌ها تصاویر پرتونگاری تهیه شد. در یک ساعت قبل از عمل جراحی کاشت، مقدار یک میلی‌گرم بر کیلو‌گرم آنتی‌بیوتیک سفتیوفور<sup>۲</sup> به صورت داخل عضلانی تزریق شد. خرگوش‌ها با ترکیب شامل ۵ میلی‌گرم بر کیلو‌گرم زیالازین<sup>۳</sup> و ۴۰ میلی‌گرم بر کیلو‌گرم کتامین<sup>۴</sup> به صورت تزریق عضلانی بیهوده شدند. استخوان درشت‌تنی پای چپ برای جراحی آماده شد. پس از برش پوست و شکافت عضلات و کنارزدن ضریع استخوان با استفاده از متله ارتوپدی استریل با قطر ۰/۵ میلی‌متر سه حفره با فواصل ۱/۵ سانتی‌متر در استخوان درشت‌تنی ایجاد شد. در هر استخوان درشت‌تنی، یک حفره با ذرات بیوگلاس، یکی با ذرات هیدروکسی آپاتیت و حفره سوم با کامپوزیت بیوگلاس-هیدروکسی آپاتیت پر شد. پرکردن حفره‌ها با نمونه‌های مورد نظر به صورت چرخشی انجام شد تا محل هر نمونه در استخوان درشت‌تنی متفاوت باشد. پس از اتمام عمل جراحی، از دو نمای رخ و نیمرخ از استخوان درشت‌تنی تصاویر پرتونگاری تهیه شد تا از پرشدن منافذ با نمونه‌ها اطمینان حاصل شود. در ۲۴ ساعت اول پس از جراحی به تمام خرگوش‌ها یک میلی‌گرم بر کیلو‌گرم آنتی‌بیوتیک سفتیوفور هر ۸ ساعت تجویز شد. به منظور کنترل درد در ۲۴ ساعت اول هر ۶ ساعت، از داروی ضد درد با بوپرنه‌نورفین<sup>۵</sup> با دوز یک میلی‌گرم بر کیلو‌گرم به صورت عضلانی استفاده شد. در فواصل زمانی دو و چهار هفته پس از عمل جراحی، مجددًا تصاویر پرتونگاری تهیه شد. شش هفته (۴۲ روز) بعد از جراحی و پس از تهیه تصاویر پرتونگاری، خرگوش‌ها به روشن مرگ آسان کشته شدند. استخوان ساق جدا شد. سپس با استفاده از گیره و ارده مویی، نمونه‌ها از فواصل

فعال به زمینه پلیمری بیفزاید زیرا فاز زمینه ذره پلیمری را به آسانی در میان خود جای داده و ناپیوستگی در فصل مشترک ذره و زمینه حاصل نخواهد شد<sup>(۹,۱۰)</sup>.

هدف از این پژوهش، ساخت و مشخصه‌یابی نانوذرات شیشهٔ زیست فعال و هیدروکسی آپاتیت برای جایگزینی یا ترمیم استخوان بود. به این منظور نانوپیوسرامیک‌های ساخته شده در استخوان حیوان کاشته و نتایج عملکرد آنها بررسی و ارزیابی شد.

## مواد و روش‌ها

۱- ساخت نانوذرات بیوگلاس و استحصال نانوهیدروکسی آپاتیت طبیعی: بیوگلاس مورد بررسی در این پژوهش به سیستم  $\text{CaO-SiO}_2\text{-P}_2\text{O}_5$  تعلق داشت و دارای ترکیب شیمیایی  $\text{CaO}\text{-SiO}_2\text{-P}_2\text{O}_5\text{-}\text{CaO}\text{-SiO}_2$  (درصد مولی) بود. روند ساخت نانوذرات بیوگلاس مطابق روش‌های ارائه شده در مقالات بود<sup>(۱۱)</sup>. نانوهیدروکسی آپاتیت طبیعی نیز از استخوان ران گاو بالغ و مطابق روش ارائه شده در مراجع استحصال شد<sup>(۱۲)</sup>.

۲- ساخت نمونه‌های کامپوزیت بیوگلاس/هیدروکسی آپاتیت: نمونه‌های کامپوزیت بیوگلاس/هیدروکسی آپاتیت با ۵۰ درصد وزنی از هرکدام از اجزاء، پس از پرس شدن تحت فشار ۱۰ مگاپاسکال، در دمای ۱۲۰۰ درجه سانتیگراد تحت عملیات تفسیش قرار گرفتند.

۳- مشخصه‌یابی فیزیکی- شیمیایی ذرات:

- آنالیز عنصری: به منظور تأیید حضور عناصر و اکسیدها در ترکیب نهایی بیوگلاس مطابق درصد مولی موردنظر، آنالیز عنصری پرتو ایکس (XRF) (S4PIONEER) انجام شد. آنالیز عنصری هیدروکسی آپاتیت طبیعی تهیه شده نیز توسط طیف سنجی فلورسنس انرژی پرتو ایکس (XEPOS SPECTRO) (EDXRF) انجام گرفت.

- ارزیابی ذرات پودر به کمک میکروسکوپ الکترونی روبشی: به منظور بررسی شکل و ظاهر ذرات تولید شده و برآورد نسبی از میزان اندازه آنها، از میکروسکوپ الکترونی روبشی (SEM) (SUPRA 40 VP FE-SEM, Carl Zeiss AG, ) (Germany) بهره گرفته شد. ولتاژ کاری دستگاه ۲۰ کیلو ولت بود و نمونه‌ها قبل از مشاهده بر روی قالب‌های مخصوص

1. In vivo evaluation

2. Ceftiofur

3. Xylazine

4. Ketamine

5. Buprenorphine

جدول ۱. روش «لين» و «ساندھو» اصلاح شده توسط «ھپيل» و همکاران برای ارزیابی و امتیازدهی تصاویر بافتی <sup>(۱۲)</sup>	
بکارچگی	
۰	عدم مشاهده آثاری از بکارچگی
۱	بکارچگی فیبروزی
۲	بکارچگی غضروفی-استخوانی
۳	بکارچگی استخوانی
۴	سازمان پافتگی کامل بدنه
استخوان اسفنجی	
۰	بدون فعلیت سلول های استخوانی
۱	مراحل اولیه تشکیل استخوان جدید
۲	تشکیل فعال استخوان جدید
۳	باز آرایی استخوان اسفنجی
۴	باز آرایی کامل استخوان اسفنجی
استخوان قشری	
۰	عدم تشکیل استخوان قشری
۱	نشانه هایی از تشکیل استخوان قشری
۲	تشکیل استخوان قشری
۳	باز آرایی زیاد استخوان قشری
۴	باز آرایی کامل استخوان قشری
مغز استخوان	
۰	عدم مشاهده مغز استخوان در منطقه بریده شده
۱	شروع پیدا شدن مغز استخوان
۲	وجود مغز استخوان در پیش از نیمی از سطح ضایعه
۳	پرشدگی کامل با مغز استخوان قرمز رنگ
۴	وجود مغز استخوان بالغ
امتیاز نهایی ممکن برای هر دسته	
۴	بکارچگی موقعیت نزدیک
۴	بکارچگی موقعیت دور
۴	استخوان اسفنجی
۴	استخوان قشری
۴	مغز استخوان
۲۰	حداکثر نمره ممکن

را بیان می کند<sup>(۱۵)</sup>. درصدهای مولی بدست آمده با تقریب قابل قبولی مشابه درصدهای مولی محاسبه شده است. این نتایج حصول بیوگلاس با درصدهای مولی مطلوب (63S) را تأیید می کند<sup>(۱۱, ۱۵)</sup>.

## جدول ۲. نتیجه آنالیز عنصری پرتو ایکس و درصد مولی اکسیدهای تشکیل دهنده بیوگلاس

ترکیب 63S	درصد مولی در شیشه	درصد مولی در ساخته شده	اکسید
۶۳	۶۲/۱۷		SiO <sub>2</sub>
۲۸	۲۸/۵۸		CaO
۹	۹/۲۵		P <sub>2</sub> O <sub>5</sub>

بین منافذ از یکدیگر جدا شدند. نمونه ها در ظروف حاوی فرمالین بافر ۱۰ درصد قرار گرفتند و به آزمایشگاه های میکروسکوپ الکترونی رویشی و آسیب شناسی بافت متقل شدند.

۰ ارزیابی (هیستوپاتولوژی): پس از کلسیم زدایی در محلول بافر اسید فرمیک ۱۵ درصد و تثیت نمونه ها در فرمالین، نمونه ها مطابق روش های معمول آماده شدند. مقاطع بافتی با قطر ۵ میکرومتر تهیه و پس از رنگ آمیزی با هماتوکسیلین - ائوزین، توسط میکروسکوپ نوری و مطابق روش امتیازدهی «لين»<sup>۱</sup> و «ساندھو»<sup>۲</sup> اصلاح شده توسط «ھپيل»<sup>۳</sup> و همکاران در سال ۱۹۸۷ مورد ارزیابی قرار گرفت<sup>(۱۲)</sup>. ارزیابی هیستوپاتولوژیک بر روی ۹ خرگوش و به کمک روش امتیازدهی فوق، مطابق جدول ۱ انجام شد.

پس از امتیازدهی تصاویر، داده ها با استفاده از آزمون کروکال- والیس<sup>۴</sup> با یکدیگر مقایسه شدند ( $p \leq 0.05$ ). در صورت وجود اختلاف آماری معنی دار، دو گروه با آزمون غیرپارامتری من ویتنی<sup>۵</sup> مقایسه شدند ( $p = 0.17$ ).

۰ ارزیابی پرتونگاری: به منظور ارزیابی تشکیل استخوان، بکارچگی و باز آرایی نواقص، تصاویر پرتونگاری استخوان درشت نی در هفته های دوم و چهارم، ثبت و بررسی شدند. جریان دستگاه پرتونگار، پنج میلی آمپر ثانیه و ولتاژ آن ۵۰ کیلو ولت بود. نتایج به طور جداگانه و مطابق شیوه امتیازدهی بدین شرح رتبه بندی شدند<sup>(۱۶)</sup>: شفاف در برابر پرتو (۰)، بسیار شفاف در برابر پرتو (-۱)، کدر در برابر پرتو (+۱)، تیرگی نسبتاً افزایش یافته در برابر پرتو (+۲)، تیرگی افزایش یافته در برابر پرتو (+۳)، تیرگی بسیار افزایش یافته در برابر پرتو (+۴).

## یافته ها

۱- آنالیز عنصری و ترکیب شیمیایی: نتایج آنالیز عنصری پرتو ایکس بر روی نانوذرات بیوگلاس تهیه شده به روش سل- ژل، در جدول ۲ آورده شده است. با توجه به درصد عناصر بدست آمده و با فرض شرکت کلیه عناصر در ترکیبات، رایانه درصد مولی اکسیدها

1. Lane
2. Sandhu
3. Heiple
4. Kruskal-Wallis
5. Mann-Whitney U test

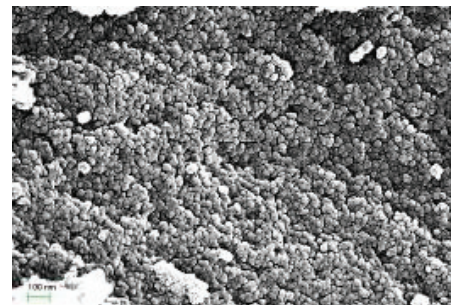
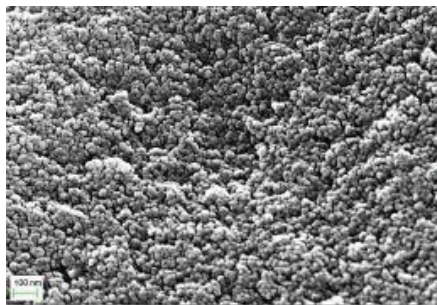
**جدول ۳. غلظت عناصر (میانگین و انحراف معیار) موجود در هیدروکسی آپاتیت اندازه گیری شده به روش طیف سنجی فلورسنس انرژی پرتو ایکس**

عنصر	غلظت (‰W)
Ca	(۱/۱۴) ۴۱/۷۷
P	(۰/۰۵۲) ۱۶/۷۱
Si	(۰/۰۱۸) ۰/۷۴
Mg	(۰/۰۲۰) ۰/۶۳
Na	(۰/۰۱۸) ۰/۴۰
K	(۰/۰۱۱) ۰/۲۴
Cl	(۰/۰۱۹) ۰/۱۲
Sr	(۰/۰۱۶) ۰/۱۱
S	(۰/۰۱۰) ۰/۰۸۳
Zn	(۰/۰۰۲) ۰/۰۱۶
Ba	(۰/۰۰۱) ۰/۰۱۱
V	(۰/۰۰۹) ۰/۰۰۴۵
Al	(۰/۰۰۰۵۳) ۰/۰۰۲۰
Mn	(۰/۰۰۰۴۱) ۰/۰۰۱۰
Pb	(۰/۰۰۱) ۰/۰۰۰۹
Cu	(۰/۰۰۰۳۶) ۰/۰۰۰۵
Fe	(۰/۰۰۰۲۴) ۰/۰۰۰۱

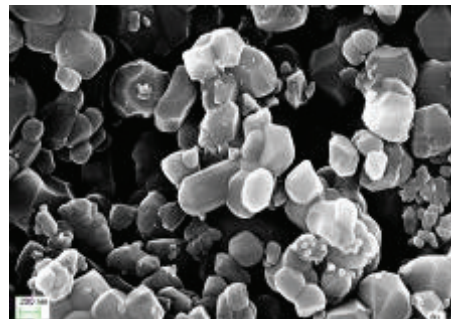
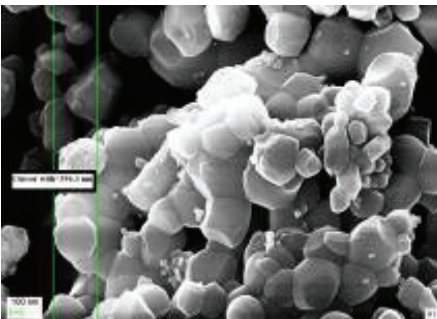
به منظور سنجش دقیق عناصر کمیاب موجود در ترکیب هیدروکسی آپاتیت گاوی، از آزمون طیف سنجی فلورسنس انرژی پرتو ایکس استفاده شد. نتیجه این آزمون، در جدول ۳ ارائه شده است. عناصر اصلی ذرات سرامیک، کلسیم و فسفر با میانگین نسبت مولی (کلسیم به فسفر) حدود ۱/۹۳ می باشند. سیلیسیم (Si)، منزیم (Mg) و سدیم (Na) نیز در مقادیر کمتر وجود دارند. علاوه بر این، مقادیر ناچیزی از پتاسیم (K)، استرانسیم (Sr)، روی (Zn)، باریم (Ba)، و انادیم (V)، آلومینیوم (Al)، منگنز (Mn)، سرب (Pb)، مس (Cu) و آهن (Fe) نیز در هیدروکسی آپاتیت گاوی تهیه شده مشاهده گردید. مقادیر کمی گزارش شده برای هر عنصر در جدول ۳، نتیجه میانگین چندین آزمون جداگانه است.

- ارزیابی نانوذرات به کمک میکروسکوپ الکترونی رو بشی: تصاویر گرفته شده به کمک میکروسکوپ الکترونی رو بشی (SEM)، اندازه و شکل ذرات پودری بیوگلاس تولید شده را نشان می دهد (شکل ۱). شکل و محدوده اندازه ذرات (کمتر از ۱۰۰ نانومتر) با نتایج سایر پژوهشگران نیز مطابقت دارد<sup>(۱۱,۱۲,۱۵)</sup>. از این تصاویر نتیجه گرفته می شود که حصول نانوذرات بیوگلاس با اندازه تقریبی ۲۰ تا ۸۰ نانومتر است. شکل ۲ میکروساختار و ساختمان هیدروکسی آپاتیت طبیعی را نشان می دهد. اندازه کریستالها نیز از ۵۰ تا ۵۰۰ نانومتر متغیر بود.

شکل ۱. تصاویر گرفته شده به وسیله میکروسکوپ الکترونی رو بشی از نانو ذرات بیوگلاس



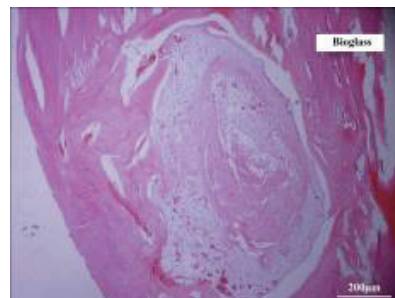
شکل ۲. تصاویر گرفته شده به کمک میکروسکوپ الکترونی رو بشی مربوط به ذرات هیدروکسی آپاتیت که تنوع شکل و اندازه دانه ها در بزرگنمایی های مختلف را نشان می دهد.



پرتونگاری نمونه‌های کاشته شده در استخوان درشت نی خرگوش بالوجه به توضیحات فوق امتیازدهی شده‌اند (شکل‌های ۳ و ۴). این نتایج، برتری محسوس کامپوزیت هیدروکسی آپاتیت/ بیوگلاس را نسبت به هر کدام از اجزای آن نشان می‌دهد. در مقایسه عملکرد هر کدام از بیوسرامیک‌ها به‌نهایی، تصاویر پرتونگاری برتری هیدروکسی آپاتیت طبیعی را نسبت به بیوگلاس نشان می‌دهند. هرچند این تفوق چندان قابل ملاحظه نیست. آنچه مسلم است این است که هر سه ترکیب کاشته شده، توانایی ترمیم ضایعه استخوانی ایجاد شده و القای تشکیل استخوان جدید را داشته‌اند. نتیجه جالب توجه، توانایی قابل ملاحظه مخلوط هیدروکسی آپاتیت- بیوگلاس در ترمیم و تشکیل استخوان جدید است.

○ نتایج ارزیابی هیستوپاتولوژی: تصاویر بافتی نمونه‌های بیوگلاس S63، هیدروکسی آپاتیت طبیعی و کامپوزیت بیوگلاس- هیدروکسی آپاتیت در شکل‌های ۵ و ۶ نشان داده شده است. مشاهدات بافتی توسط میکروسکوب نوری نشان داد که در مورد همه نمونه‌ها یک اتصال مستقیم با استخوان قشری تشکیل شده است. همچنین در مغز استخوان مقدار زیادی ترابکولای نو تشکیل شد که با تعداد زیادی سلول‌های استخوانی پوشیده شده بود.

الف



شکل ۵. تصویر بافتی کاشتنی پس از ۴۲ روز کاشت در استخوان درشت نی خرگوش.  
الف) بیوگلاس،  
ب) هیدروکسی آپاتیت.

ب

در شکل ۵- الف استخوان‌سازی داخل غضروفی در فضای ضایعه استخوانی و حضور تیغه‌های استخوانی لامار، غضروف و بافت همبند در فضای ضایعه مشاهده می‌شود. شکل ۵- ب پرشدن

### -آزمون‌های درون تنی

○ نتایج ارزیابی پرتونگاری: تصاویر پرتونگاری استخوان درشت نی خرگوش پس از گذشت دو و چهار هفته از زمان کاشت بیوسرامیک‌ها، در شکل‌های ۳ و ۴ نشان داده شده است. اعداد داخل پرانتز، امتیاز بیوسرامیک را براساس شیوه امتیازدهی ذکر شده در بخش مواد و روش‌ها نشان می‌دهند.

شکل ۳. پرتونگاری استخوان

میزان در هفته دوم. از بالا به پایین: (۱) کامپوزیت هیدروکسی آپاتیت- بیوگلاس (نمره ۴)،  
(۲) هیدروکسی آپاتیت (نمره ۳)،  
(۳) بیوگلاس (نمره ۲)



شکل ۴. پرتونگاری استخوان

میزان در هفته چهارم. از بالا به پایین:  
(۱) کامپوزیت هیدروکسی آپاتیت- بیوگلاس (نمره ۴)،  
(۲) بیوگلاس (نمره ۲)،  
(۳) هیدروکسی آپاتیت (نمره ۳)



همان‌گونه که قبله گفته شد، امتیازدهی تصاویر پرتونگاری بر پایه کدر و شفاف بودن منطقه نقص در برابر پرتو انجام می‌گیرد. هرچه عملکرد زیستی بیوسرامیک در ترمیم استخوان بهتر باشد، تراکم استخوانی در منطقه نقص بیشتر و در نتیجه، کدر بودن در برابر پرتو شدیدتر خواهد بود. در این شرایط عبور پرتو از محل، کمتر و بازتاب آن بیشتر خواهد بود. تمامی این عوامل منجر به سفید دیده شدن محل نقص و ضایعه ترمیم یافته در تصاویر پرتونگاری خواهد شد. پس هر چه محل نقص در تصاویر پرتونگاری روشن‌تر باشد، توانایی ماده کاشتنی در القای تشکیل استخوان بیشتر بوده است. تصاویر

ارزیابی درون تنی نانوپیوسرامیک های زیست فعال در ....

گروه تفاوت آماری معنی دار مشاهده نشد ( $p \geq 0.05$ ) ولی در سایر موارد، تفاوت ها معنی دار بود. در موارد استخوان اسفنجی و استخوان قشری، گروه ۳ با اختلاف معنی داری از گروه های ۱ و ۲ بیشتر بود ( $p=0.001$ ). در مورد مغز استخوان نیز گروه ۳ از گروه ۲ و گروه ۲ از گروه ۱ برتر بود ( $p=0.001$ ). در مجموع، امتیاز نهایی گروه ۳ با اختلاف معنی داری از گروه های ۱ و ۲ بیشتر بود ( $p=0.001$ ) و امتیاز نهایی گروه ۲ نیز اختلاف معنی داری با گروه ۱ داشت ( $p=0.014$ ).

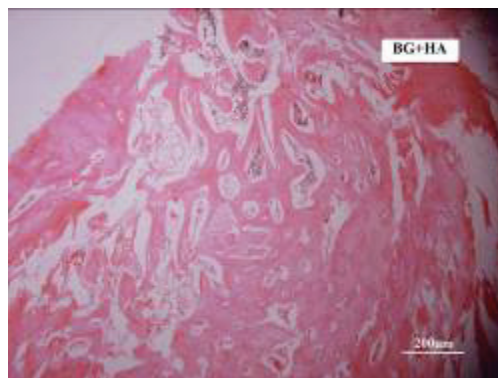
### بحث

در این پژوهش به ساخت و ارزیابی درون تنی رفتار زیستی نانوپیوگلاس و هیدروکسی آپاتیت طبیعی پرداخته شد. ترکیب بیوگلاس (63S) مورد مطالعه، با توجه به جدیدترین کشف «هنچ»<sup>۱</sup> پیرامون ترکیبات بیوگلاس انتخاب شد. اگر رهایش عناصر سیلیسیم، کلسیم و فسفر در محدوده مشخصی باشد، بیوگلاس قادر به فعال سازی ژن ها، القای تمایز استئوژنیک سلول های استخوانی و تحريك تشکیل بافت خواهد بود.<sup>(۱۶)</sup>. ترکیب 63S بیوگلاس از جمله ترکیباتی است که انتظار می رود میزان رهایش یون های مذکور از آن در محدوده مذکور باشد. آنالیز عنصری هیدروکسی آپاتیت طبیعی نیز نشان داد که علاوه بر کلسیم و فسفر، عناصر کمیاب هم در این پیوسرامیک وجود دارند. وجود این عناصر در ترکیب هیدروکسی آپاتیت طبیعی از مزایای این نوع هیدروکسی آپاتیت نسبت به نوع مصنوعی آن به شمار می رود. تقریباً وجود تمامی این عناصر با مقادیر کمی مشابه، در بافت استخوانی انسان نیز گزارش شده است<sup>(۱۷)</sup>. عملکرد و تأثیر مثبت

1. Hench

فضای ضایعه با استخوان ترابکولار و تشکیل حفرات مغز استخوان که از بارزترین تأثیرات مشاهده شده هیدروکسی آپاتیت کاشتنی بود را نشان می دهد.

شکل ۶ تصویر بافتی استخوانی را نشان می دهد که در معرض مخلوط ذرات بیوگلاس و هیدروکسی آپاتیت قرار داشته است. آنچه که به وضوح در این تصویر قابل مشاهده است، پرشدن فضای ضایعه با استخوان ترابکولار، تشکیل حفرات مغز استخوان و آغاز بازآرایی تیغه های استخوانی است.



شکل ۶. بافت کاشتنی کامپوزیت بیوگلاس- هیدروکسی آپاتیت پس از ۴۲ روز کاشت در استخوان درشت نی خرگوش.

نتایج کمی ارزیابی هیستوپاتولوژی نمونه های بافتی مربوط به بیوگلاس، هیدروکسی آپاتیت و کامپوزیت بیوگلاس- هیدروکسی آپاتیت که جزئیات و روش انجام آن در بخش مواد و روش ها بیان شد، در جدول ۴ نشان داده شده است.

از نظر یکپارچگی استخوان تشکیل شده (نzdیک و دور) بین سه

جدول ۴. میانگین (حداقل، حداکثر) امتیاز کسب شده توسط نمونه های بافتی پس از ۴۲ روز کاشت در استخوان درشت نی خرگوش

<i>p</i> -value	کامپوزیت بیوگلاس- هیدروکسی آپاتیت (گروه ۳) (n=۹)	هیدروکسی آپاتیت (گروه ۲) (n=۹)	بیوگلاس (گروه ۱) (n=۹)	
$\geq 0.05$	۳ (۳-۳)	۳ (۳-۲)	۳ (۳-۲)	یکپارچگی موقعیت نزدیک
$\geq 0.05$	۳ (۳-۳)	۳ (۳-۲)	۳ (۳-۲)	یکپارچگی موقعیت دور
۰.۰۱۱	۴ (۴-۳)	۳ (۳-۲)	۳ (۳-۲)	استخوان اسفنجی
۰.۰۲۱	۴ (۴-۳)	۳ (۳-۲)	۳ (۳-۲)	استخوان قشری
۰.۰۰۱	۴ (۴-۳)	۳ (۳-۲)	۲ (۳-۲)	مغز استخوان
۰.۰۰۱	۱۸	۱۵	۱۴	جمع کل

آنچه که به وضوح می‌توان از آزمون‌های پرتونگاری و هیستوپاتولوژی نتیجه گرفت، برتری محسوس کامپوزیت بیوگلاس/هیدروکسی آپاتیت در ترمیم و القای تشکیل استخوان جدید است. در پژوهش‌های انجام شده توسط سایر پژوهشگران، گزارشی مبنی بر مقایسه زیست فعالی کامپوزیت بیوگلاس/هیدروکسی آپاتیت با هر یک از اجزای آن مشاهده نمی‌شود. اکثر پژوهشگران به منظور افزایش و ارتقای خواص مکانیکی، اقدام به ساخت کامپوزیت‌های بیوگلاس/هیدروکسی آپاتیت نموده‌اند<sup>(۲۰, ۲۱)</sup>. در مقالات منتشر شده، عمدهاً به توانایی این مخلوط در تشکیل آپاتیت در محلول شبیه‌سازی شده بدن و در برخی موارد زیست سازگاری در شرایط برون‌تنی پرداخته شده است که نتایج آن قابل پیش‌بینی به نظر می‌رسد. برخی از ذرات میکرو ذرات بیوگلاس و هیدروکسی آپاتیت را در شرایط درون‌تنی و پس از شش هفته کاشت در استخوان ران خرگوش بررسی و مقایسه کردند<sup>(۲۲)</sup>. «میستری»<sup>۱</sup> و «هنچ»<sup>۲</sup> و همکاران فعالیت زیستی آپاتیت پرداخته‌اند. «فوجیشیرو»<sup>۳</sup> و همکاران نیز به عنوان مقایسه عملکرد زیستی بیوگلاس و هیدروکسی آپاتیت به عنوان پوششی برای کاشتنی دندانی تیتانیومی پرداختند<sup>(۲۳)</sup>. لیکن هیچ کدام به بررسی تأثیر کامپوزیت این دو بیوسرامیک در شرایط درون‌تنی پرداخته‌اند. همان‌گونه که پیش از این نیز عنوان شد، ساخت کامپوزیت بیوگلاس-هیدروکسی آپاتیت تنها با هدف ارتقای خواص مکانیکی مدنظر بوده است. نتایج این پژوهش نشان داد که علاوه بر خواص مکانیکی، خواص و فعالیت زیستی این کامپوزیت نیز نسبت به هر کدام از اجزای آن به تنهایی ارتقا می‌یابد.

هنگامی که هر کدام از بیوسرامیک‌های بیوگلاس و هیدروکسی آپاتیت طبیعی در درون بافت سخت استخوانی کاشته می‌شوند، مزایا و نقاط قوت منحصر به فردی خواهند داشت. به نظر می‌رسد هرگاه بتوان از توانایی‌ها و قابلیت‌های بیوگلاس و هیدروکسی آپاتیت به صورت همزمان بهره گرفت، فعالیت و عملکرد زیستی نیز افزایش یافته است. هیدروکسی

برخی از این عناصر کمیاب بر روی سوخت و ساز و فعالیت بافت استخوانی به گونه‌ای است که برخی پژوهشگران به استفاده منفرد و جداگانه این عناصر در ترمیم نواقص استخوانی روی آورده‌اند. برای مثال در پژوهشی که نتایج آن به تازگی منتشر شده است، تأثیر مثبت استرانسیم بر روی رشد و ترمیم بافت استخوانی در آزمون‌های درون‌تنی، به اثبات رسیده است<sup>(۱۸)</sup>. وظیفه و عملکرد تمامی عناصر کمیاب در متابولیسم استخوان در مستندات موجود است<sup>(۱۷)</sup>.

همان‌گونه که در تصویر میکروسکوپ الکترونی روبشی مشاهده شد، اندازه ذرات بیوگلاس کمتر از ۱۰۰ نانومتر بود. گزارش شده است که هرچه اندازه ذرات یک بیوسرامیک زیست فعال کمتر باشد، فعالیت زیستی آن افزایش می‌یابد. به عبارت دیگر سلول‌های استخوانی در مجاورت ذرات زیست فعال بسیار ریز، تکثیر و تزايد بیشتری دارند<sup>(۱۹)</sup>. زیست فعال بیوسرامیکی مانند بیوگلاس، وابستگی زیادی به میزان و نرخ رهایش عناصر شیمیایی موجود در ترکیب آن دارد. هرچه اندازه ذرات ریزتر باشد، نرخ رهایش یون‌های مؤثر بر استخوان‌سازی بیشتر خواهد بود<sup>(۱۹)</sup>. همچنین تصاویر میکروسکوپ الکترونی اندازه بلورهای هیدروکسی آپاتیت را ۵۰۰ تا ۵۰ نانومتر نشان داد. این در حالی است که این اندازه در استخوان طبیعی حیوانی (گاوی) در محدوده ۲۰ تا ۴۰ نانومتر گزارش شده است<sup>(۴)</sup>. این میزان افزایش و رشد اندازه دانه‌ها به عملیات حرارتی انجام شده در هنگام تهیه ذرات بیوسرامیک نسبت داده می‌شود. ذوب موضعی و به هم پیوستن دانه‌ها، دلیل اصلی کاهش مرزدانه‌ها و افزایش اندازه دانه‌های هیدروکسی آپاتیت پس از طی عملیات حرارتی در ۷۰۰ درجه سانتیگراد است. گزارش شده است که هرچه اندازه دانه‌های هیدروکسی آپاتیت بیشتر باشد، میزان حلالت و تخریب‌پذیری آن نیز بیشتر خواهد بود<sup>(۸, ۹)</sup>. به هر حال به نظر نمی‌رسد این میزان ناجیز در افزایش اندازه دانه (حداکثر تا ۵۰۰ نانومتر)، تأثیر چندانی بر روی میزان اتحال پذیری ذرات هیدروکسی آپاتیت داشته باشد، هرچند ممکن است خواص مکانیکی (سختی و استحکام) توده‌های ساخته شده از هیدروکسی آپاتیت با بلورهای بزرگتر، ضعیفتر باشد.

زیستی این مخلوط تلفیقی از بهترین قابلیت هدایت (هیدروکسی آپاتیت) و القای استخوانی (بیوگلاس) است و عملکرد آن از عملکرد زیستی هر کدام از اجزاء آن بالاتر خواهد بود.

در این پژوهش استحکام استخوان و خواص بیومکانیکی آن سنجیده نشد. بررسی این خواص می‌تواند در پژوهش دیگری انجام شده و نتایج این مطالعات را تکمیل نماید. همچنین نتایج فوق مربوط به یک بررسی کوتاه‌مدت بود. عوارض جانبی احتمالی و اثرات بلندمدت این مواد در بدن نیاز به ارزیابی طولانی مدت و آزمون‌های تکمیلی دارد که در این پژوهش قابل انجام نبود.

### نتیجه‌گیری

در این پژوهش نانو ذرات بیوگلاس، نانوهیدروکسی آپاتیت طبیعی و کامپوزیت این مواد ساخته و مشخصه یابی شد. ارزیابی رفتار زیستی این مواد در شرایط درون‌تنی دو نتیجه مهم در پی داشت. نتیجه اول، اثبات و تأیید زیست فعالی این بیوسرامیک‌ها در تماس با بافت سخت استخوانی بود. به عبارت دیگر، استخوان آسیب دیده در تماس با این بیوسرامیک‌های زیست فعال با سرعت و کیفیت بیشتری ترمیم می‌یابد. نتیجه دوم این پژوهش، اثبات برتری عملکرد زیستی کامپوزیت بیوگلاس/هیدروکسی آپاتیت نسبت به هر یک از اجزای آن بود. به بیان دیگر هرگاه از کامپوزیت بیوگلاس/هیدروکسی آپاتیت در ترمیم استخوان آسیب دیده استفاده شود، نتیجه به مراتب بهتر خواهد بود. در تمامی کاربردها و مصارفی که برای بیوگلاس و هیدروکسی آپاتیت در اشکال مختلف (ذره، توده و پوشش) ارائه شده است، می‌توان کامپوزیت آنها را جایگزین کرد. زیست فعالی بیشتر و متعاقب آن بهبودی و التیام هرچه سریع‌تر بافت سخت از مهم‌ترین مزایای بکارگیری این کامپوزیت خواهد بود.

آپاتیت طبیعی (مشتق از استخوان حیوان) فوق العاده زیست سازگار است به‌گونه‌ای که در استخوان میزان به عنوان یک عامل کاملاً خودی و بی‌خطر محسوب می‌شود<sup>(۸)</sup>. این مزیت منحصر به فرد، منجر به پاسخ مناسب بدن به این عامل خارجی خواهد بود. جذب سریع پروتئین‌های واسطه به سمت این ماده و اتصال مناسب سلول‌های استخوانی با آن از مهم‌ترین این پاسخ‌های است. به‌طورکلی هیدروکسی آپاتیت به عنوان یک بیوسرامیک با قابلیت هدایت استخوانی بسیار خوب شناخته می‌شود<sup>(۲۴)</sup>. اما علیرغم توانایی هیدروکسی آپاتیت در جذب و هدایت سلول‌های استخوانی، به‌دلیل پایداری ساختار و فعالیت شیمیایی بسیار کم، القای خارجی مثبتی از سوی این ماده بر روی سلول‌ها صورت نمی‌گیرد. این دقیقاً همان خصوصیتی است که مزیت و برتری عمدۀ بیوگلاس محسوب می‌شود<sup>(۱۵,۱۹)</sup>. بیوگلاس به‌دلیل اینکه یک عامل خارجی متفاوت با استخوان میزان است، در ابتدا پاسخ مناسبی از سوی سیستم ایمنی بدن دریافت نمی‌کند. به عبارت دیگر، تمایلی از سوی سلول‌های استخوانی و پروتئین‌های واسطه برای جذب شدن به سوی بیوگلاس وجود ندارد<sup>(۳)</sup>. از سوی دیگر، بیوگلاس با رهایش یون‌های کلسیم و فسفر در محیط اطراف، کمک قابل توجهی به رشد و فعالیت سلول‌های استخوانی و ترمیم ضایعه در استخوان میزان خواهد کرد<sup>(۱۹)</sup>. بیوگلاس به عنوان یک بیوماده با قابلیت بالای القای تشکیل استخوان شناخته شده است و مکانیزم زیست فعالی متفاوتی با سایر بیوسرامیک‌های مشابه خود دارد<sup>(۱۹,۲۵)</sup>.

با توجه به مطالب فوق می‌توان این‌گونه نتیجه گرفت: هیدروکسی آپاتیت موجود در کامپوزیت بیوگلاس- هیدروکسی آپاتیت طبیعی کاشته شده در بدن، عامل حرکت و جذب سلول‌ها به سمت کاشتنی و بیوگلاس حاضر در ترکیب، عامل مؤثر بر رشد، فعالیت و تکثیر سلول‌ها خواهد بود. در نتیجه عملکرد

### References

- 1. Hench LL.** An Introduction to Bioceramics. 1<sup>st</sup> edition. London, 1993. p 55-70.
- 2. Na L, Qing J, Sumin Z, Ruoding W.** Preparation and characterization of macroporous sol-gel bioglass. *J Ceram Int.* 2005;31(5):641-6.
- 3. Garcia C, Cere S, Duran A.** Bioactive coatings prepared by sol-gel on stainless steel 316L. *J Noncrys Sol* 2004;348:218-24.
- 4. Brunski J.** An introduction to materials in medicine 2nd ed. NY: Academic Press. 1996. p 37.

- 5. Jianli L, Xigeng M.** Sol-gel derived bioglass as a coating material for porous alumina scaffolds. *Ceram Int* 2004; 30 (7):1781-5.
- 6. Hench LL, Polak JM.** Third-generation biomedical materials. *Science*. 2002;295(5557):1014-7.
- 7. Kapoor S, Batra U.** Preparation and bioactivity evaluation of bone like hydroxyapatite - bioglass composite. *Int J Chem Bio Eng*. 2010;3(1):24-8.
- 8. Köseoğlu NC, Büyükkaksoy A, Oral AY, Aslan MH.** Hydroxyapatite/Bioactive glass films produced by a sol-gel method: In vitro behavior. *Advanced Eng Mat*. 2009;11(11): 194-9.
- 9. Ruksudjarit A, Pengpat K, Rujijanagul G, Tunkasiri T.** "Synthesis and characterization of nanocrystalline hydroxylapatite from natural bovine bone". *Curr App Physics*. 2008; 8:270-2.
- 10. Doostmoammadi A.** Preparation and characterization of bioactive glass nanopowder and its coating for improvement of biocompatibility of human body implant. PhD dissertation, *Isfahan University of Technology*, Isfahan, Iran. 2006.
- 11. Doostmohammadi A, Monshi A, Salehi R, Fathi MH, Golniya Z, Daniels AU.** Bioactive glass nanoparticles with negative zeta potential. *Ceram Int*. 2011;37:2311-6.
- 12. Doostmohammadi A, Monshi A, Salehi R, Fathi MH, Karbasi S, Pieles U, Daniels AU.** Preparation, chemistry and physical properties of bone-derived hydroxyapatite particles having a negative zeta potential. *Mat Chem Physics*. 2012;132:446-52.
- 13. Lane JM, Sandhu HS.** Current approaches to experimental bone grafting. *Orthop Clin North Am*. 1987;18 (2): 213-25.
- 14. Dorea HC, McLaughlin RM, Cantwell HD, Read R, Armbrust L, Pool R, Roush JK, Boyle C.** Evaluation of healing in feline femoral defects filled with cancellous autograft, cancellous allograft or Bioglass. *Vet Comp Orthop Traumatol*. 2005;18(3):157-68.
- 15. Fathi MH, Doostmohammadi A.** Preparation and characterization of sol-gel, Bioactive glass coating for improvement of biocompatibility of human body implant. *Mat Scien Eng*. 2008;474:128-33.
- 16. Hench LL.** Genetic design of bioactive glass. *J Eur Ceram Soc*. 2009;29:1257-65.
- 17. Sandstrom B, Walter P.** Role of trace elements for health promotion and disease prevention. *Nutrition Res*. 1998;23(12):1745-51.
- 18. Tian M, Cheng F, Song W, Song Y, Chen Y, Wan C, Zhang X.** In vivo study of porous strontium-doped calcium polyphosphate scaffolds for bone substitute applications. *J Mat Science: Mat Med*. 2009;20:1505-12.
- 19. Hench LL.** Use of bioactive glass compositions to stimulate osteoblasts production. *US patent 0009598*. 2004.
- 20. Ravarian R, Moztarzadeh F, Hashjin MS, Rabiee SM, Khoshakhlagh P, Tahriri M.** Synthesis, characterization and bioactivity investigation of bioglass/hydroxyapatite composite. *Ceramic Int*. 2010;36(1):291-297.
- 21. Cholewa-Kowalska K, Kokoszka J, Laczka M, Niedzwiedzki L, Madej W, Osyczka AM.** Gel-derived bioglass as a compound of hydroxyapatite composites. *Biomed Mat*. 2009;4(5):56-60.
- 22. Fujishiro Y, Hench LL, Oonishi H.** Quantitative rates of in vivo bone generation for Bioglass and hydroxyapatite particles as bone graft substitute. *J Mat Science: Mat in Med*. 1997;8 (11):649-52.
- 23. Mistry S, Kundu D, Datta S, Basu D.** Comparison of bioactive glass coated and hydroxyapatite coated titanium dental implants in the human jaw bone. *Aus Dent J*. 2011;56(1):68-75.
- 24. Fathi MH, Hanifi A, Mortazavi V.** Preparation and bioactivity evaluation of bone-like hydroxyapatite nanopowder. *J Mat Proc Tech*. 2008; 202(1-3):536-42.
- 25. Lohbauer U, Jell G, Saravanapavan P, Jones JR, Hench LL.** Indirect cytotoxicity evaluation of silver doped bioglass Ag-S70C30 on human primary keratinocytes. *Key engin mat*. 2005;17:431-4.